



سنگنگاری، زمینشیمی و جایگاه زمین ساختی واحدهای آتشفسانی منطقه شاه سلطان علی (جنوب غربی بیرجند)

سمانه نادر مزرجمی، محمد حسن کریم پور^{*}، آزاده ملکزاده شفارودی

گروه زمین شناسی و گروه پژوهشی اکتشاف ذخایر معدنی شرق ایران، دانشگاه فردوسی مشهد، مشهد، ایران

(دریافت مقاله: ۹۶/۲/۲۶، نسخه نهایی: ۹۶/۷/۴)

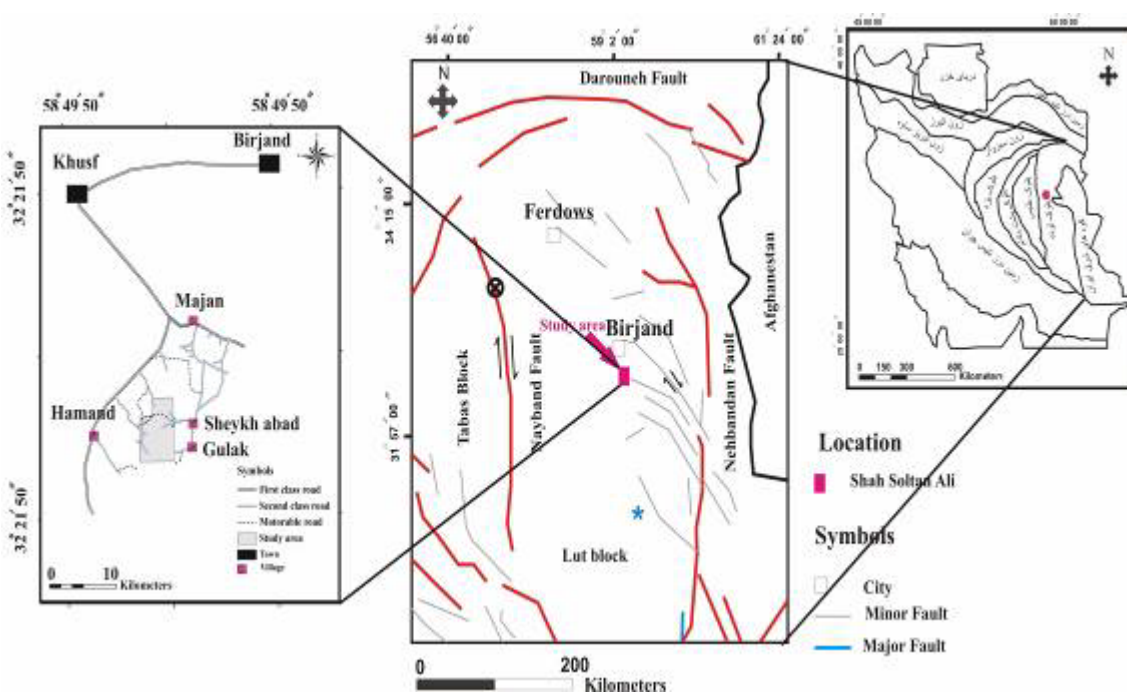
چکیده: سنگهای آتشفسانی منطقه شاه سلطان علی در جنوب غربی بیرجند و در بخش شرقی پهنه لوت رخمنون دارند. براساس بررسی‌های سنگنگاری، این سنگ‌ها بازالت تا آندزیت بوده و کانی‌های اصلی آنها پلازیوکلاز، کلینوپیروکسن، هورنبلند و بندرت بیوتیت و الیوین هستند. آپاتیت و زیرکن به عنوان کانی فرعی در این واحدهای شناسایی شده‌اند. واحدهای آندزیتی و آندزیت-بازالتی دگرسانی پرولیتی ضعیف تا متوسط را نشان می‌دهند. این واحدهای متالومین هستند و در گستره سنگ‌هایی با ماهیت آهکی-قلیایی پتاسیم بالا تا شوشونیتی قرار می‌گیرند. برپایه داده‌های زمین‌شیمیایی، منطقه مورد بررسی با پهنه فروزانش شرق ایران (پهنه افغان-پهنه لوت) در ارتباط است. اینکه از نظر زمین‌ساختی، واحدهای منطقه در کمان قاره‌ای جای می‌گیرند، همچنین غنی‌شدگی از عناصر سنگ دوست بزرگ یون مانند Sr, Ba, K و Cs نسبت به عناصر با پتانسیل یونی بالا (Nb - Ti و Zr) همراه با ناهنجاری منفی Nb نشان‌دهنده تشکیل ماقما در پهنه فروزانش است. خاستگاه ماقما تشکیل‌دهنده آندزیت و آندزیت-بازالت‌های منطقه، براساس نسبت Th/Nd, Ta/Yb, Th/Yb, Ba/La و La/Yb (La/Yb ۰/۵۹ تا ۰/۴۹) به همراه الگوی عناصر کمیاب نشان‌دهنده وجود مقدار جزئی گارنت در خاستگاه است که الگوسازی‌های انجام شده نشان می‌دهد، که ماقما مولد واحدهای سنگی از ذوب‌بخشی ۵ تا ۲۰ درصد اسپینل گارنت روزولیت حاصل شده است.

واژه‌های کلیدی: پلازیوکلاز؛ آهکی-قلیایی؛ متالومین؛ فروزانش؛ پهنه لوت؛ بیرجند.

ماگمایی لوت که از ژوراسیک آغاز شده، در کرتاسه ادامه داشته و در ترشیری به اوج خود رسیده است [۲]. برپایه بررسی‌های صورت گرفته، سنگ‌های آتشفسانی و نفوذی ترشیری بیش از نیمی از پهنه را پوشش می‌دهند. ترکیب این واحدهای سنگی بیشتر از گدازه‌های بازالتی، آندزیتی، داسیتی و ریولیتی است که توسط توده‌های نفوذی نیمه عمیق قطع شده‌اند. تاکنون علتهای مختلفی برای فعالیت ماگمایی ترشیری پهنه لوت پیشنهاد شده است، به گونه‌ای که برخی فروزانش [۳-۵]، و برخی مانند پانگ و همکاران [۶]، فرآیندهای لایه لایه شدن پس از برخورد را عامل آن دانسته‌اند، بر اساس این نظریه،

مقدمه منطقه اکتشافی شاه سلطان علی در ۵۰ کیلومتری جنوب شرقی شهرستان خوسف (۸۵ کیلومتری جنوب غربی بیرجند) واقع است. این منطقه در بخش شمال شرقی ورقه ۱:۱۰۰۰۰ سرچاه شور [۱]، با وسعتی بیش از ۳۷ کیلومتر مربع، بین طول‌های جغرافیایی شرقی "۵۶° ۵۰' ۵۸' ۳۲' ۳۰' ۱'" تا "۰° ۰' ۰' ۰' ۰' ۰'" و عرض‌های جغرافیایی شمالی "۳۹° ۲۵' ۳۲'" تا "۳۰° ۰' ۰'" قرار دارد. از نظر تقسیمات ساختاری، این منطقه جزئی از شرق پهنه لوت است (شکل ۱). یکی از مشخصه‌های بارز پهنه لوت فعالیت ماگمایی گسترده در آن است، به طوریکه فعالیت‌های

*نویسنده مسئول، تلفن: ۰۵۱۳۸۸۰۴۰۵۱، نمایش: ۰۵۱۳۸۷۶۶۴۱۶، پست الکترونیکی: Karimpur@um.ac.ir



شکل ۱ جایگاه ساختاری و راههای دسترسی به منطقه اکتشافی شاه سلطان علی (جنوب بیرجند، خراسان جنوبی).

بیشتر آندزیت و داسیت‌های دگرسان شده ائوسن تا الیگوسن نامگذاری شده‌اند که همراه آنها گنبدهای پیروکسین آندزیتی منفرد با سن نوزا دیده می‌شود [۱]. اما بررسی‌های دقیق زمین صحرایی و آزمایشگاهی نشان داد که واحدهای سنگی با عنوان داسیت‌های دگرسان شده در نقشه زمین‌شناسی ورقه سرچاه شور، بیشتر توده‌های نفوذی نیمه عمیق با ترکیب دیوریت پورفیری، مونزونیت پورفیری و مونزوندیوریت پورفیری به شدت دگرسان شده هستند که به استیاه داسیت‌های دگرسان شده نامگذاری شده‌اند. در این نقشه اشاره‌ای به واحدهای بازالتی نیز نشده است. بررسی‌های صحرایی نشان می‌دهد که واحد پیروکسین بازالت از نظر سن نسبی قدیمی‌ترین واحد سنگی در منطقه شاه سلطان علی است و پس از آن واحدهای آندزیتی تشکیل شده‌اند. در مرحله بعدی، توده‌های نیمه عمیق در این واحدها نفوذ کردند. در اطراف منطقه شاه سلطان علی، چندین کانسار مس- طلا پورفیری شناسایی شده‌اند که عبارتند از: کانسار مس- طلا پورفیری ماهرا آباد (غرب منطقه مورد بررسی) در ۷۰ کیلومتری جنوب غربی بیرجند [۷]، مس- طلا پورفیری کوه شاه (شرق منطقه مطالعاتی) در ۹۰ کیلومتری جنوب بیرجند [۸] و کانسار مس- طلا پورفیری خوپیک (جنوب منطقه) در ۷۰ کیلومتری جنوب غربی بیرجند [۹]. گفتنی است که در منطقه شاه سلطان علی، کانی‌سازی با

حوضه اقیانوسی در شرق ایران، ۸۶ میلیون سال پیش بسته شده است. به همین سبب فعالیت ماقمایی ائوسن - الیگوسن در پهنه لوت و سیستان، پس از برخورد بوده و علت آن، فرآیندهای لایه لایه شدن پس از برخورد بیان شده است. از آنجاکه تاکنون واحدهای آتشفسانی منطقه شاه سلطان علی از نظر سنگ‌شناسی بررسی نشده است، در این پژوهش سنگ نگاری، ویژگی زمین‌شیمیایی، سنگ‌زایی و محیط زمین- ساختی این واحدها به دقت بررسی می‌شود.

زمین‌شناسی منطقه

واحدهای آتشفسانی شاه سلطان علی در نیمه شمالی منطقه اکتشافی با همین نام رخمنون یافته‌اند. وسعت تقریبی این واحدها حدود ۸ کیلومتر مربع است و بیشتر به صورت تپه‌های نه چندان مرفوع دیده می‌شوند. عوامل فیزیکی و شیمیایی، بر سنگ‌های آتشفسانی اثر گذاشته و سبب ایجاد ریخت‌شناسی تپه ماهوری با رنگ‌های سیاه تا سبز تیره شده است. البته در قسمت‌هایی برشی شدن شدید در واحدهای آتشفسانی دیده می‌شود که می‌تواند به دلیل عواملی همچون سرد شدن سریع ماقمایی و زمین‌ساخت منطقه (به ویژه فعالیت گسل‌هایی با روند شمال غربی- جنوب شرقی) باشد. براساس نقشه زمین‌شناسی ورقه سرچاه شور در مقیاس ۱:۱۰۰۰۰ [۱]، این واحدها

نمونه برای تعیین عناصر کمیاب و خاکی نادر به آزمایشگاه Acme کانادا ارسال گردید که در این آزمایشگاه نمونه‌ها توسط روش ذوب قلیایی با استفاده از حلal متاورات / تترابورات و اسید نیتریک آماده سازی شده و سپس توسط روش پلاسمای جفت شده القایی (ICP- MS) با دقت ۰/۰۱ ppm تجزیه شدند. در نهایت نقشه زمین‌شناسی منطقه به کمک نرم افزار Arc map رسم گردید، همچنین به منظور تفسیر داده‌های زمین‌شیمی و رسم نمودارها از نرم افزارهای GCDkit و CorelDraw استفاده شد.

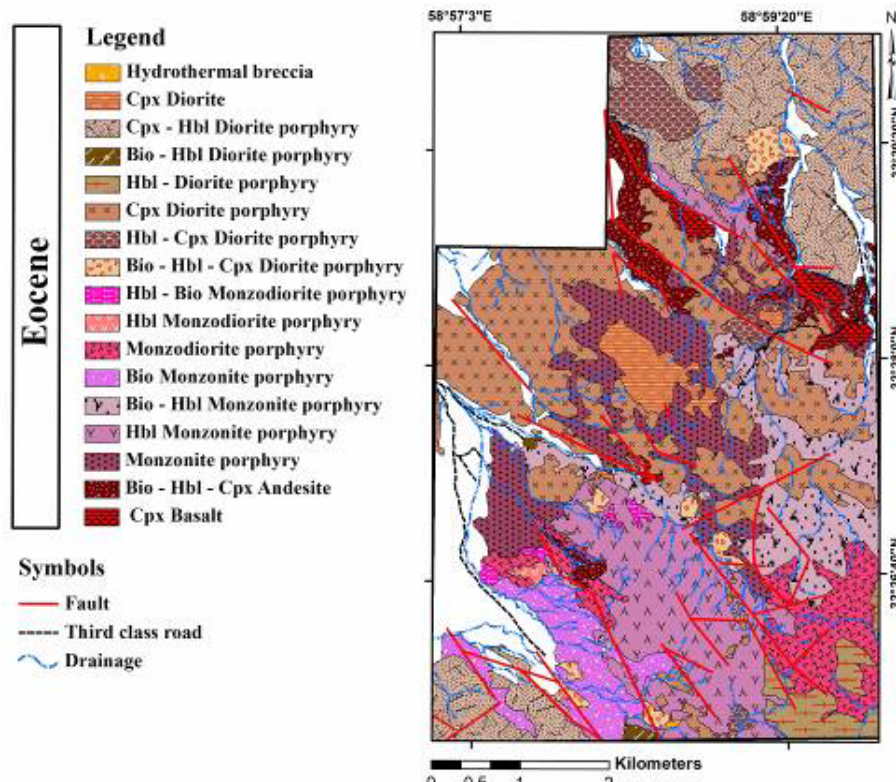
سنگنگاری

سنگ‌های آتشفسانی علاوه بر مشخصات صحرایی، عموماً با بافت‌های پورفیری، بدامکی و گلومرپورفیری شناخته می‌شوند [۱۱،۱۰]. واحدهای آتشفسانی در منطقه مورد بررسی دارای ترکیب آندزیتی و بازالتی هستند (شکل ۲). براساس روابط و مشاهدات صحرایی، قدیمی‌ترین واحد سنگی منطقه، واحد پیروکسن بازالت است. این واحد به صورت روانه‌های بازالتی در شمال و شمال شرقی منطقه رخمنون دارد، همچنین واحدهای آندزیتی با رخمنون به نسبت بیشتر اغلب در شمال منطقه دیده می‌شود (شکل ۲).

واحدهای نفوذی نیمه عمیق (مونزونیت پورفیری و مونزودیوریت پورفیری) در ارتباط بوده و هیچ گونه کانی‌سازی در واحدهای آتشفسانی و توده‌های نیمه عمیق دیوریت پورفیری رخ نداده است. بررسی‌های سن‌سنگی نشان می‌دهد که واحدهای آندزیتی قدیمی‌تر از واحدهای مونزونیت و مونزودیوریت پورفیری هستند و توده‌های دیوریت پورفیری پس از کانی‌سازی در منطقه نفوذ کرده‌اند و جوان‌ترین واحدهای سنگی منطقه هستند.

روش بررسی

به منظور تهیه نقشه زمین‌شناسی با مقیاس ۱:۲۰۰۰۰ از تمام واحدهای سنگی منطقه نمونه‌برداری شد و در مجموع تعداد ۱۶۰ مقطع نازک جهت بررسی‌های دقیق سنگنگاری و دگرسانی از کل منطقه تهیه گردید که از این تعداد، حدود ۴۰ نمونه مربوط به واحدهای آتشفسانی است. برای تعیین عناصر اصلی به منظور بررسی‌های زمین‌شیمیایی سنگ‌ها، ۱۰ نمونه سنگی با کمترین دگرسانی و هوازدگی برای تجزیه به روش طیفسنجی فلئورسانس پرتو X (XRF) به آزمایشگاه آمتیس شرق ارسال شد. این نمونه‌ها پس از خردایش و نرمایش توسط دستگاه فیلیپس مدل PW 1480 تجزیه شدند. همچنین ۹



شکل ۲ نقشه زمین‌شناسی گستره شاه سلطان علی با مقیاس ۱:۲۰۰۰۰

بافت‌های فرعی آن گلومروپورفیری، جریانی، سرآیت و خال حال است. فراوانی درشت‌بلورها در این واحد بین ۴۵٪ تا ۵۰٪ و اندازه آنها بین ۰/۵ تا ۴ میلیمتر متغیر است. زمینه سنگ در این واحد بیشتر از ریزنگ‌های پلاژیوکلاز تشکیل شده که فراوانی پلاژیوکلازها با اندازه ۰/۲ تا ۰/۳ میلیمتر در زمینه، حدود ۴۰٪ است. این ریزنگ‌ها در برخی مناطق حالت جریانی و جهت‌یابی به خود گرفته‌اند. مهم‌ترین درشت‌بلورهای تشکیل دهنده این مجموعه، کانی پلاژیوکلاز و کلینوپیروکسن به همراه مقدار اندکی کانی‌های هورنبلند و بیوتیت است (شکل ۳). فراوانی بلورهای پلاژیوکلاز به صورت درشت‌بلور، حدود ۳٪ است و اغلب به شکل بلورهای قطره مستطیلی با ماکل چند عصری و برخی با حالت منطقه بندی یافت می‌شوند. براساس زاویه خاموشی ماکل‌ها، بیشتر پلاژیوکلازها از نوع الیگوکلاز تا آندزین بوده و اندازه آنها بین ۰/۷ تا ۴ میلیمتر متغیر است. کلینوپیروکسن در واحد آندزیتی بیشتر از نوع اوزیت و بندرت دیوپسید و دارای فراوانی حدود ۱۲٪ و متوسط اندازه ۱ میلیمتر است (شکل ۳ ج). از دیگر کانی‌های مافیک این واحد می‌توان به هورنبلند و بیوتیت اشاره کرد. این دو کانی اغلب به اکسید آهن تجزیه شده و یا به عبارتی اپاسیتی شده‌اند (شکل‌های ۳ ج و ح). طبق نظر کواباتا و همکارش [۱۲]، در مواردی هر چه ضخامت کناره سوخته در کانی‌های مافیک بیشتر باشد سرعت صعود مانگما کندتر بوده است همچنین گریزندگی بالای اکسیژن در مانگما سبب ایجاد کناره سوخته در برخی کانی‌ها خواهد شد. واحدهای آندزیتی فاقد دگرسانی هستند و یا در قسمت‌هایی دگرسانی پروپلیتی ضعیف را نشان می‌دهند. این دگرسانی اغلب ناشی از تبدیل جزئی پلاژیوکلاز به کربنات و هورنبلند به کلریت، کربنات و اکسید آهن است.

برش‌های آتشفسانی: واحدهای برشی رخمنون کوچکی در مرکز و جنوب منطقه دارند و به همین سبب در نقشه زمین-شناسی با مقیاس ۱:۲۰۰۰۰ رسم نشده‌اند. قطعات تشکیل دهنده این برش‌ها از پیروکسن آندزیت و پیروکسن هورنبلند تراکی آندزیت هستند که در زمینه‌ای از جنس آندزیت قرار دارند.

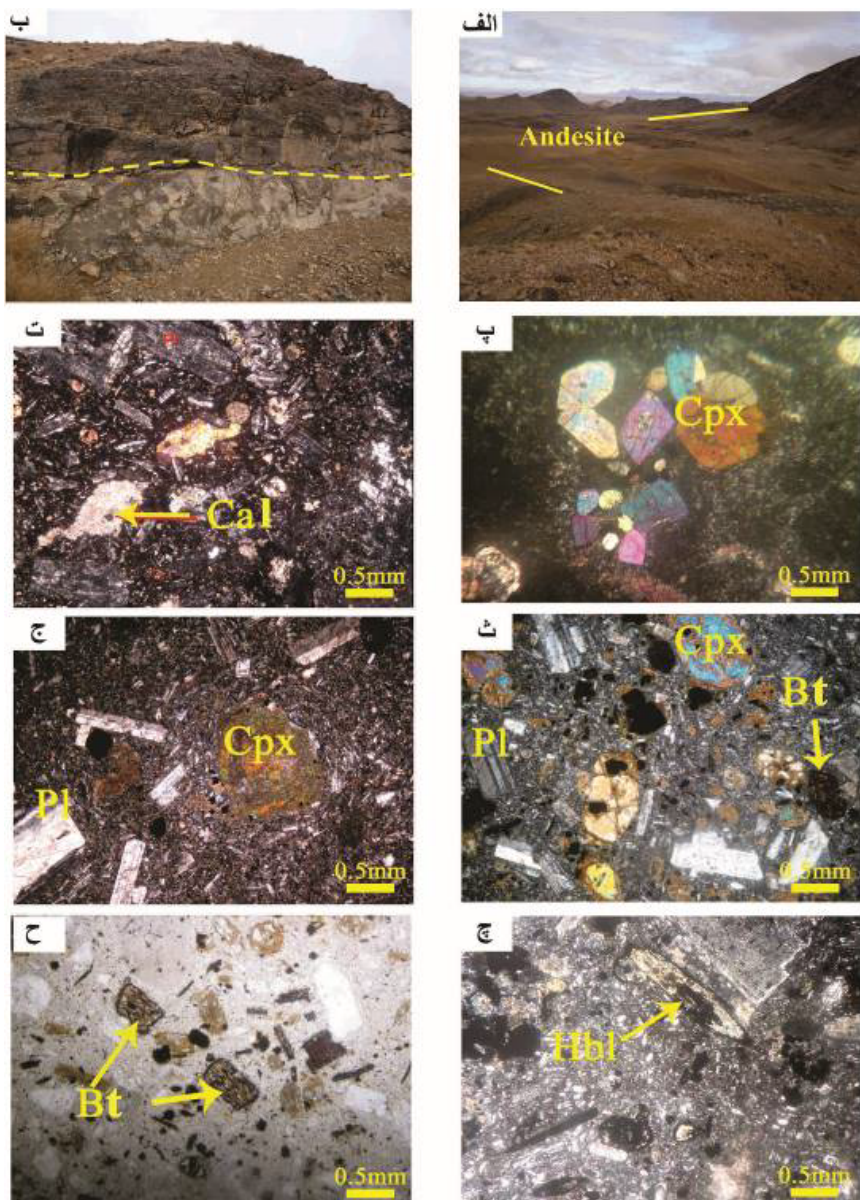
توده‌های نیمه عمیق: واحدهای نفوذی نیمه عمیق در منطقه مورد بررسی به سه گروه اصلی مونزونیت پورفیری، مونزودیوریت پورفیری و دیوریت پورفیری تقسیم می‌شوند. توده‌های مونزونیت پورفیری و مونزودیوریت پورفیری بیشتر در مرکز و جنوب منطقه شاه سلطان علی رخمنون دارند. بافت اصلی این توده‌ها پورفیری با زمینه دانه‌متوسط بوده و درصد

پیروکسن بازالت: اصلی‌ترین رخمنون واحد پیروکسن بازالت در نیمه شمالی و شرقی منطقه است. البته رخمنون کوچکی از این واحد در مرکز منطقه نیز دیده می‌شود (شکل ۲). در مجموع واحد پیروکسن بازالت مساحتی حدود ۲ کیلومتر مربع را اشغال کرده و ریختار سطحی آن به صورت گذازه‌های جریانی و برشی شده است. ساخت این واحد در نمونه دستی پورفیری ریز بلور است. در مقاطع نازک بافت اصلی این واحد پورفیری با زمینه ریزنگی، شیشه‌ای، گلومروپورفیری و گاهی حفره‌دار (بادامکی) است (شکل‌های ۳ پ و ت). برپایه بررسی‌های صورت گرفته، فراوانی درشت‌بلور در مقاطع مختلف بین ۰/۳۰ تا ۰/۴۰٪ متغیر بوده و عمدها درشت‌بلورهای سنگ بیشتر از کانی پلاژیوکلاز با فراوانی ۲۰ درصد و اندازه تقریبی ۰/۲ میلیمتر به همراه ۱۰ درصد کلینوپیروکسن تشکیل شده است و باقی زمینه از شیشه است. بلورهای پلاژیوکلاز در زمینه بیشتر به صورت ریزنگ‌های سوزنی شکل و به ندرت به صورت تیغک‌های دندربیتی هستند. بلورهای پلاژیوکلاز در درشت‌بلورها، فراوانی حدود ۰/۵٪ تا ۱۰٪ دارند و اندازه تقریبی آنها بین ۰/۵ تا ۰/۷ میلیمتر متغیر است. این کانی به میزان ۱۰٪ به سریسیت تجزیه شده است. فراوان‌ترین کانی در بین درشت‌بلورهای واحد بازالتی، کانی کلینوپیروکسن است. این کانی با ترکیب اوزیت تا دیوپسید ۳۰ درصد درشت‌بلورها را به خود اختصاص داده است. اندازه بلورهای کلینوپیروکسن بین ۰/۵ تا ۳ میلیمتر متغیر است و بیشتر به صورت بلورهای شکل-دار هشت وجهی با ماکل تیغه‌ای دیده می‌شوند. الیوین‌ها در این واحد بی شکل و دارای کناره گردشده هستند. این کانی بین ۵ تا ۱۰ درصد حجم سنگ را تشکیل می‌دهد و به کانی‌های کلریت، کربنات و اکسید آهن تجزیه شده است. از نظر دگرسانی واحد پیروکسن بازالت دگرسانی ضعیف تا متوسط پروپلیتی را نشان می‌دهد.

بیوتیت هورنبلند پیروکسن آندزیت: واحدهای آندزیتی در شمال و جنوب غربی منطقه مورد بررسی دیده می‌شوند، اما رخمنون اصلی آنها در شمال و در مجاورت واحد پیروکسن بازالت است (شکل ۲). این واحدها به صورت تپه‌های نه چندان مرتفع بروند داشته و وسعت آنها ۴ کیلومتر مربع است (شکل-های ۳ الف و ب). در بررسی‌های صحرایی درشت‌بلورهای شیری رنگ پلاژیوکلاز در زمینه‌ای بسیار ریز بلور و تیره رنگ دیده می‌شود. در مقاطع نازک، بافت اصلی این واحد پورفیری و

در مرکز و شمال منطقه شاه سلطان علی بیرون زدگی دارند. این توده‌ها بافت پورفیری و گلومروپورفیری را نشان می‌دهند. درصد درشت بلور آنها بین ۳۰٪ تا ۴۵٪ متغیر بوده و پلازیوکلاز اصلی‌ترین کانی این توده‌ها در نظر گرفته می‌شود. واحدهای دیوریت پورفیری از نظر سنی جوان‌تر از سایر واحدها هستند و دگرسانی آنها بیشتر پروپلیتی ضعیف تا متوسط است.

درشت بلور آنها بین ۲۰٪ تا ۳۵٪ متغیر است. درشت بلور این توده‌ها از کانی‌های پلازیوکلاز، ارتوکلаз و کمی کوارتز تشکیل شده است که براساس فراوانی و نوع کانی‌های مافیک، به چندین زیر مجموعه تقسیم می‌شوند و دگرسانی اصلی آنها دگرسانی کوارتز-سریسیت-پیریت است. کانی‌سازی در منطقه تنها با این واحدها همراه شده است. واحدهای دیوریت پورفیری



شکل ۳ الف) نمایی از رخنمون نه چندان مرتفع واحدهای آندزیتی. ب) نمایی از عملکرد گسل‌های منطقه و بشی شدن واحدهای آندزیتی بالایی. پ) بافت گلومروپورفیری در واحد پیروکسن بازالت (XPL). ت) بافت بادامکی و پرشدگی حفره‌ها با کلسیت (Cal) در واحد پیروکسن بازالت (XPL). ث) درشت بلورهای کلینوپیروکسن نوع اوزیت به همراه پلازیوکلاز (PI) در واحد پیروکسن آندزیت (XPL). ج) درشت بلور درشت از کلینوپیروکسن (Cpx) در حال تجزیه در واحد پیروکسن آندزیت (XPL). خ) نمایی از درشت بلورهای هورنبلند (Hbl) با کناره سوخته و اپاسیتی شده در واحد پیروکسن هورنبلند آندزیت (XPL). ه) درشت بلورهای بیوتیت (Bt) در حال تبدیل به کانی‌های کدر در واحد بیوتیت پیروکسن آندزیت (PPL). (علام اختصاری برگرفته از مرجع [۱۲] هستند).

دگرسانی برای تجزیه اکسیدهای اصلی، عناصر خاکی نادر و جزئی انتخاب شد که نتایج حاصل از تجزیه شیمیایی آنها در جدول ۱ ارائه شده است.

زمین‌شیمی واحدهای آتشفشنایی

از مجموع ۱۶۰ نمونه سنگی برداشت شده از کل منطقه، ۴۰ نمونه مربوط به واحدهای آتشفشنایی است که براساس بررسی‌های دقیق سنگنگاری، تعداد ۱۰ نمونه از آنها با کمترین

جدول ۱ نتایج تجزیه شیمیایی اکسیدهای اصلی بر پایه درصد وزنی و عناصر فرعی و کمیاب بر پایه ppm از محدوده شاه سلطان علی (۱=آندزیت، ۲=آندزیت- بازالت).

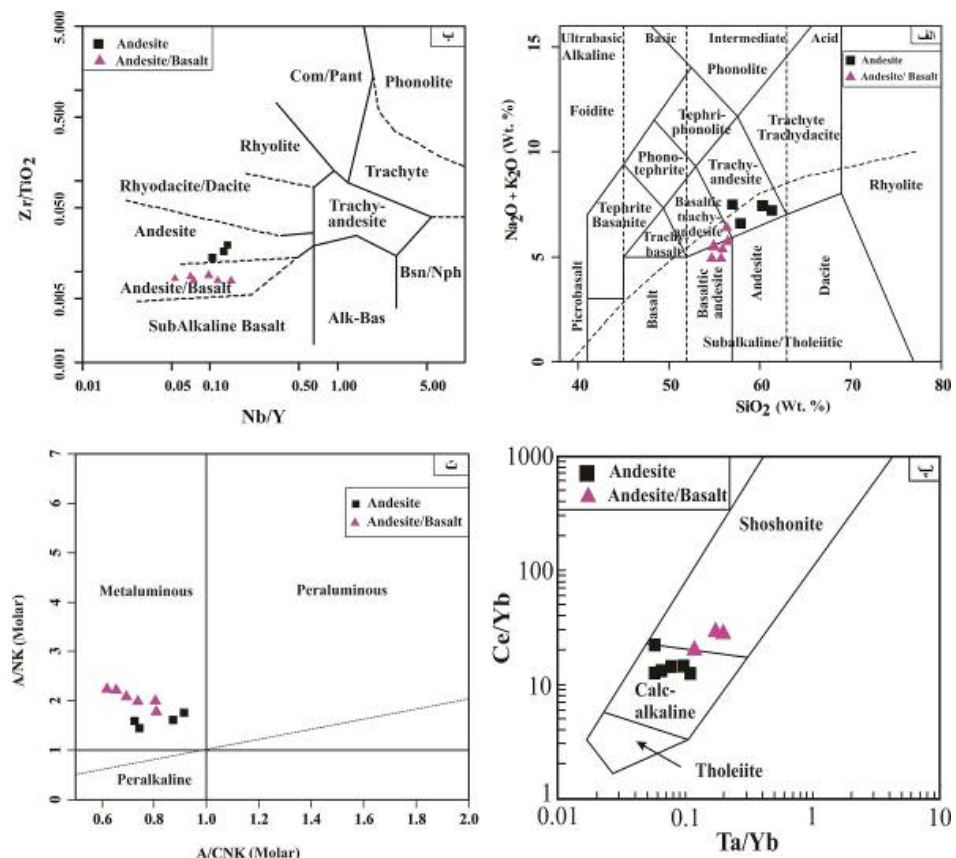
شماره نمونه	N۲۲	N۶۱	N۷۵	N۸۹	N۹۲	N۱۱	N۱۱۸	N۱۲۵	N۱۳۶	N۱۶۲
X	۳۲۰۲۶'۰۸	۳۲۰۲۷'۵۱	۳۲۰۲۶'۴۵	۳۲۰۲۷'۲۰	۳۲۰۲۹'۰۲	۳۲۰۲۸'۲۳	۳۲۰۲۹'۱۵	۳۲۰۲۸'۰۲	۳۲۰۲۸'۲۷	۳۲۰۲۸'۱۵
Y	۵۸۰۵۷'۴۱	۵۸۰۵۶'۵۸	۵۸۰۵۷'۵۲	۵۸۰۵۸'۱۳	۵۸۰۵۸'۲۸	۵۸۰۵۹'۲۲	۵۸۰۵۹'۲۴	۵۸۰۵۸'۵۷	۵۸۰۵۹'۲۷	۵۸۰۵۸'۳۰
سنگ	۱	۱	۱	۱	۲	۱	۱	۱	۲	۲
SiO ₂	۵۹,۳۳	۵۳,۵	۵۵,۲۴	۵۵,۵۹	۵۳,۵۶	۵۴,۵۹	۵۸,۵۶	۵۳,۰۸	۵۳,۰۲	۵۴,۱۱
Al ₂ O ₃	۱۶,۱۴	۱۶,۱۰	۱۵,۹۱	۱۵,۴۷	۱۴,۳	۱۵,۰۵	۱۴,۲۹	۱۵,۴۱	۱۴,۵۳	۱۵,۰۲
TFeO	۵,۷۱	۷,۹۰	۸,۰۹	۷,۱۵	۹,۱۸	۸,۸۳	۵,۴۶	۸,۶۸	۸,۲۶	۸,۴۰
MgO	۳,۴۸	۳,۹۰	۴,۲۲	۵,۸۱	۵,۴۸	۵,۱۴	۳,۲۸	۵,۶۲	۵,۴۰	۴,۲۲
CaO	۴,۸۲	۶,۳۰	۷,۴۰	۴,۴۷	۷,۴۹	۵,۶۰	۵,۷۴	۶,۱۳	۹,۱۸	۸,۹۶
Na ₂ O	۳,۴۰	۴,۰۱	۲,۸۵	۲,۲۵	۲,۴۱	۲,۸۴	۲,۸۸	۲,۳۸	۲,۱۲	۲,۱۴
K ₂ O	۳,۹۰	۳,۶۰	۳,۱۲	۲,۱۶	۲,۷۴	۳,۴۳	۴,۱۱	۳,۶۱	۲,۷۹	۳,۰۵
TiO ₂	۰,۶۱	۰,۷۱	۰,۷۲	۰,۶۱	۰,۷۶	۰,۷۵	۰,۷۷	۰,۷۵	۰,۷۰	۰,۷۳
P ₂ O ₅	۰,۴۲	۰,۵۳	۰,۳۱	۰,۲۶	۰,۴۴	۰,۳۰	۰,۲۹	۰,۳۰	۰,۲۵	۰,۲۶
MnO	۰,۰۸	۰,۱۴	۰,۱۰	۰,۱۵	۰,۱۲	۰,۱۰	۰,۱۱	۰,۲۸	۰,۱۲	۰,۱۳
(L.O.I)	۱,۸۳	۳,۱۰	۱,۸۲	۳,۸۶	۳,۰۲	۳,۱۷	۴,۴۸	۳,۵۱	۳,۰۹	۲,۵۰
مجموع	۹۹,۷۲	۹۹,۷۹	۹۹,۷۸	۹۹,۷۸	۹۸,۸۰	۹۹,۸۰	۹۹,۷۷	۹۹,۷۵	۹۹,۶۴	۹۹,۵۲
Ba	۸,۰۹	-	۶,۰۰	۷,۸۲	۵,۶۱	۷,۰۹	۶,۸۴	۱۱,۳۹	۶,۰۵	۶۷,۰
Cs	۲,۸-	-	۳,۸۰	۲,۸۰	۰,۹۰	۱۴,۱۰	۸,۱۰	۲	۱,۶۰	۰,۶۰
Hf	۳,۱۰	-	۱,۸۰	۲,۳۰	۱,۸۰	۱,۷۰	۲,۸۰	۱,۹۰	۱,۹۰	۱,۷۰
Nb	۴,۸-	-	۱,۷۰	۲,۱۰	۲,۲۰	۲,۵۰	۴,۹۰	۲,۵۰	۱,۷۰	۱,۹۰
Rb	۹۳,۴-	-	۶۸	۶۴,۱۰	۳۵,۹۰	۷۲,۹۰	۱۰,۱۶۰	۵۴,۲۰	۵۰,۶۰	۵۰,۲۰
Sr	۹۹,۶	-	۶۸,۳۴	۸۵,۶۰	۷۸,۴۹۰	۶۵,۲,۹۰	۷۸,۶	۶۷,۱,۲۰	۱۸,۹,۹۰	۷۰,۱,۸
Ta	۰,۴-	-	۰,۱۰	۰,۲۰	۰,۲۰	۰,۱۰	۰,۴۰	۰,۲۰	۰,۱۰	۰,۱۰
Zr	۱۰,۵,۳-	-	۶,۰,۳۰	۸,۴,۲۰	۶۲,۱۰	۶۰,۷۰	۱۰,۳,۸۰	۷,۰,۵	۶,۰,۹	۵۹,۳۰
Y	۳۸	-	۲۲	۲۹	۱۹,۳۰	۱۷,۵	۳۹	۲۵	۲۴	۲۶
La	۲۶,۴-	-	۱۵,۹۰	۲۰,۱۰	۱۶,۹۰	۱۴,۵	۲۴,۱	۱۴,۱	۱۲,۱۲	۱۴,۴
Ce	۵۲,۵-	-	۴۲,۱۰	۴۰,۲۰	۳۵,۵۰	۲۸,۴	۴۵,۲	۲۵,۸	۲۳,۱	۲۶,۵
Pr	۶,۱-	-	۴,۰,۴	۵,۰,۹	۴,۷-	۳,۸۰	۵,۴۵	۳,۴۵	۳,۲۱	۳,۵۵
Nd	۲۴,۲-	-	۱۷,۹۰	۲۱,۹۰	۲۰,۲۰	۱۶,۵۰	۲۱,۶۰	۱۴,۵۰	۱۳,۸۰	۱۵,۷۰
Sm	۵	-	۳,۹۵	۴,۸۴	۴,۳۶	۳,۵۴	۴,۲۸	۳,۱۹	۳,۱۹	۳,۶۲
Eu	۱,۳۳	-	۱,۱۳	۱,۱۶	۱,۱۹	۱,۰۷	۱,۱۲	۱,۰۲	۰,۹۱	۰,۹۹
Gd	۴,۲۲	-	۳,۶۰	۴,۰,۳	۳,۹۴	۳,۵۳	۲,۷۵	۲,۴۱	۲,۱۱	۲,۲۷
Tb	۰,۵۶	-	۰,۵۴	۰,۵۸	۰,۶۰	۰,۵۳	۰,۴۷	۰,۵۳	۰,۴۷	۳,۵۲
Dy	۳,۳۴	-	۳,۱۶	۳,۷۴	۳,۵۰	۳,۳۱	۲,۹۱	۲,۹۷	۲,۸۳	۳,۱۷
Ho	۰,۶۲	-	۰,۶۰	۰,۷۴	۰,۷۱	۰,۶۶	۰,۵۳	۰,۶۸	۰,۵۸	۰,۷۰
Er	۱,۹-	-	۲,۰۸	۲,۱۳	۲,۱۵	۲,۰۰	۱,۶۸	۱,۹۶	۱,۸۴	۱,۸۶
Tm	۰,۳-	-	۰,۲۷	۰,۳۰	۰,۳۲	۰,۳۱	۰,۲۱	۰,۲۹	۰,۲۸	۰,۲۷
Yb	۱,۸۶	-	۲,۰,۳	۲,۰,۸	۲,۰,۹	۱,۹۵	۱,۵۹	۱,۸۸	۱,۸۳	۱,۹۶
Th	۸,۵-	-	۳,۹۰	۶	۱,۸۰	۱,۷۰	۸,۴۰	۲,۳۰	۲,۱۰	۲,۹۰
Lu	۰,۳۱	-	۰,۲۹	۰,۳۱	۰,۳۱	۰,۲۹	۰,۲۶	۰,۲۸	۰,۲۹	۰,۳۱
نسبت ها										
Ba/La	۳۰,۶	-	۳۷,۷۰	۳۸,۹۰	۳۳,۱۰	۴۸,۸۰	۲۸,۳۰	۸,۰,۷۰	۴۵,۴۰	۴۶,۵۰
Eu/Eu*	۰,۸۹	-	۰,۹۲	۰,۸۰	۰,۸۸	۰,۹۳	۰,۸۴	۰,۹۵	۰,۸۸	۰,۸۸
La/Yb _N	۹,۵۷	-	۵,۲۸	۶,۵۲	۵,۴۵	۵,۰۱	۱,۰,۲۲	۵,۰,۶	۴,۹۰	۴,۹۵

بررسی‌های صحرایی همخوانی قابل قبولی دارد.

در نمونه‌های تجزیه شده، نسبت Ce/Yb و Ta/Yb در واحدهای آتشفشنانی به ترتیب بین ۰/۱ تا ۱۳/۵۲ و ۰/۴ تا ۰/۱ متغیر است. در نمودار Ce/Yb نسبت به Ta/Yb بیشتر نمونه‌های آندزیتی در گستره آهکی-قلیایی پتانسیم بالا قرار گرفته است و نمونه‌های آندزیت-بازالت ماهیت سری شوشنونیتی را نشان می‌دهند (شکل ۴ پ). پژوهش‌های پیشین در پهنه لوت [۹-۸-۵-۲] نشان می‌دهد که مagma می‌تشکیل دهنده واحدهای سنگی در پهنه لوت از مقدار K_2O بالایی برخوردار است و یا به عبارتی ماهیت magma آنها بیشتر در گستره آهکی-قلیایی پتانسیم بالا قرار دارد و این ویژگی از مشخصه‌های بارز فعالیت magma در پهنه لوت است. بر اساس $Al_2O_3/(CaO + Al_2O_3/(Na_2O + K_2O)$ نمودار [۱۷]، واحدهای سنگی نام برده در گستره متا‌آلومین قرار دارند (شکل ۴ ت).

عناصر اصلی

در اینجا، از عناصر اصلی، کمیاب و خاکی نادر برای نامگذاری واحدهای سنگی، تعیین ماهیت و سری ماگماهای استفاده شده است. در این سنگ‌ها مقدار SiO_2 بین ۵۹/۳۳ تا ۵۳/۰۸ درصد وزنی و مجموع K_2O+Na_2O در آن‌ها بین ۴/۹۱ تا ۷/۶ درصد وزنی متغیر است. رده‌بندی واحدهای آتشفشنانی بر پایه نسبت اکسیدهای اصلی براساس نمودار SiO_2 نسبت به (K_2O+Na_2O) [۱۴]، نشان می‌دهد که واحدهای آتشفشنانی منطقه در دو گروه آندزیت بازالت و تراکی آندزیت جای می‌گیرند (شکل ۴ الف)، لذا با توجه به اینکه عناصر کمیاب و فرعی کمتر دستخوش دقیق‌تر واحدهای سنگی از نمودار Nb/Y شوند، برای نامگذاری دقیق‌تر واحدهای سنگی از نمودار Zr/TiO_2 [۱۵]، استفاده شده است. براساس این نمودار، همه واحدهای آتشفشنانی منطقه به دو گروه آندزیت و آندزیت بازالت تقسیم می‌شوند (شکل ۴ ت). این نتایج با



شکل ۴ (الف) نامگذاری واحدهای آتشفشنانی به روش مجموع قلیا-سلیس (TAS) براساس درصد اکسیدهای اصلی SiO_2 نسبت به مجموع Na_2O+K_2O [۱۴]. (ب) رده‌بندی واحدهای آتشفشنانی منطقه شاه سلطان علی بر اساس نمودار Zr/TiO_2 نسبت به Nb/Y [۱۵]. (پ) تعیین سری ماگماهای نمونه‌های تجزیه شده از منطقه شاه سلطان علی براساس نمودار Ce/Yb نسبت به Ta/Yb [۱۶]. (ت) نمودار A/NK نسبت به A/CNK برای سنگ‌های آتشفشنانی منطقه شاه سلطان علی [۱۷].

سنگ‌های منطقه است (شکل ۵). وجود ناهنجاری منفی Eu از ویژگی‌های گدازه‌های آهکی-قیلیایی وابسته به فروانش بوده و بیانگر حضور جزئی پلازیوکلاز به عنوان فاز باقی مانده طی ذوب‌بخشی است [۲۷]. چنان که گفته شد در نمودار بهنجار شده نسبت به گوشه اولیه [۲۳]، شاهد غنی‌شدگی از عناصر Ba, Sr, LILE نسبت به HFSE هستیم. عناصر LILE مانند Ba, Sr و K تحرک بالایی در سیال‌های آبی از خاستگاه پوسته اقیانوسی فرورو دارند و ورود آنها به گوشه نیز این ناهنجاری مثبت را ایجاد می‌کند (شکل ۶) [۲۸]. در نمودارهای عنکبوتی بهنجار شده نسبت به گوشه اولیه، عناصر Sr و Y ناهنجاری مثبت نشان می‌دهند (شکل ۶). عنصری سازگار در کانی پلازیوکلاز است، بطوریکه ذوب و ناپایدار شدن پلازیوکلاز باعث آزادسازی Sr و ایجاد ناهنجاری مثبت می‌شود، از طرفی عنصر Y به شدت در کانی گارنت سازگار بوده و غنی‌شدگی از این عنصر نشانه وجود مقداری گارنت در سنگ خاستگاه و ناپایدار شدن آن است. در نمونه‌های مورد بررسی، نسبت Y/Sr بین ۲۰/۱۵ تا ۳۹/۶۳ متغیر است. این نسبت به وسیله فراوانی کانی‌های پلازیوکلاز، گارنت و آمفیبول در فاز باقی مانده توضیح داده می‌شود، به طوریکه مقادیر کمی از پلازیوکلاز و آمفیبول به همراه مقدار بالاتری از گارنت در فاز باقی مانده سبب ایجاد نسبت بالای Sr/Y در گدازه خواهد شد، که این مقدار به نسبت بالا، بیانگر حضور جزئی گارنت در باقی مانده بوده و توجیه کننده ناهنجاری مثبت Sr و ناهنجاری منفی جزئی Eu است. در نمودار بهنجار شده به گوشه اولیه، عناصر Ti - Nb و Zr ناهنجاری منفی نشان می‌دهند (شکل ۶). عناصر نام بردہ دارای پتانسیل یونی بالا بوده و در نتیجه در سیال آزاد شده از سنگ کرده فرورو نامحلول هستند و ناهنجاری منفی نشان می‌دهند. این ناهنجاری منفی عناصر Ti و Zr ناشی از باقی ماندن این عناصر در ساختار کانی‌هایی مانند تیتانومنیتیت، ایلمنیت و زیرکن است. کانی‌های تیتان دار اگر در مگماهای مولد در مخزن باقی مانده باشند، ناهنجاری منفی از Ti را ایجاد می‌کنند [۲۰]. در پهنه‌های فرورانش، گریزندگی O₂ بالا است و در گریزندگی بالای O₂ دمای زیادی برای ذوب کانی‌های Ti دار نیاز است و بدلیل فراهم نشدن شرایط ویژه دمایی این عنصر در فازهای تیتان دار باقی مانده و ناهنجاری منفی نشان می‌دهد [۳۰]. گفتنی است که آندزیت‌های منطقه

عناصر فرعی و خاکی نادر

در نمودار بهنجار شده نسبت به کندریت [۱۸]، غنی‌شدگی متواتسطی از عناصر خاکی نادر سبک (LREE) نسبت به خاکی نادر سنگین (HREE) دیده می‌شود (شکل ۵)، که این غنی‌شدگی عناصر LREE در واحدهای آندزیتی به نسبت بیشتر از واحدهای آندزیت بازالتی است. غنی‌شدگی بیشتر عناصر (La/Yb) در واحدهای آندزیتی با بالاتر بودن نسبت (Ce/Yb) بین ۶/۵۲ تا ۱۰/۲۲ و نسبت (Ce/Yb) بین ۴/۹۲ تا ۷/۲۳ در مقایسه با واحدهای آندزیت بازالتی به ترتیب با مقادیر ۴/۹۵ تا ۵/۴۵ و ۳/۲۱ تا ۵/۴۰ نیز تأیید می‌شود. غنی‌شدگی از عناصر LREE نسبت به HREE یکی از مشخصه‌های ماقماهای واحدهای آندزیت بازالتی به فرورانش است [۱۹-۲۲]. در الگوی چند عنصره سنگ‌های منطقه شاه سلطان علی بهنجار شده نسبت به گوشه اولیه [۲۳]، غنی‌شدگی از عناصر سنگ دوست بزرگ یون (LILE) مانند Ba, Sr, K و Cs در مقابل عناصر با پتانسیل یونی بالا، HFSE (Nb - Ti - Zr) بارز است. این غنی‌شدگی از ماقما با پوسته قاره‌ای نسبت داده شده است [۲۴]. همچنین در هر دو گروه سنگی، الگوی عناصر کمیاب و فرعی از روند تقریباً مشابهی پیروی می‌کند و همپوشی را نشان می‌دهد. این موضوع نشان می‌دهد که هر دو نوع گدازه یک خاستگاه مشترک دارند [۲۵] و یا اینکه آندزیتها از جدایش بلورین بازالت‌ها به وجود آمده‌اند [۲۶].

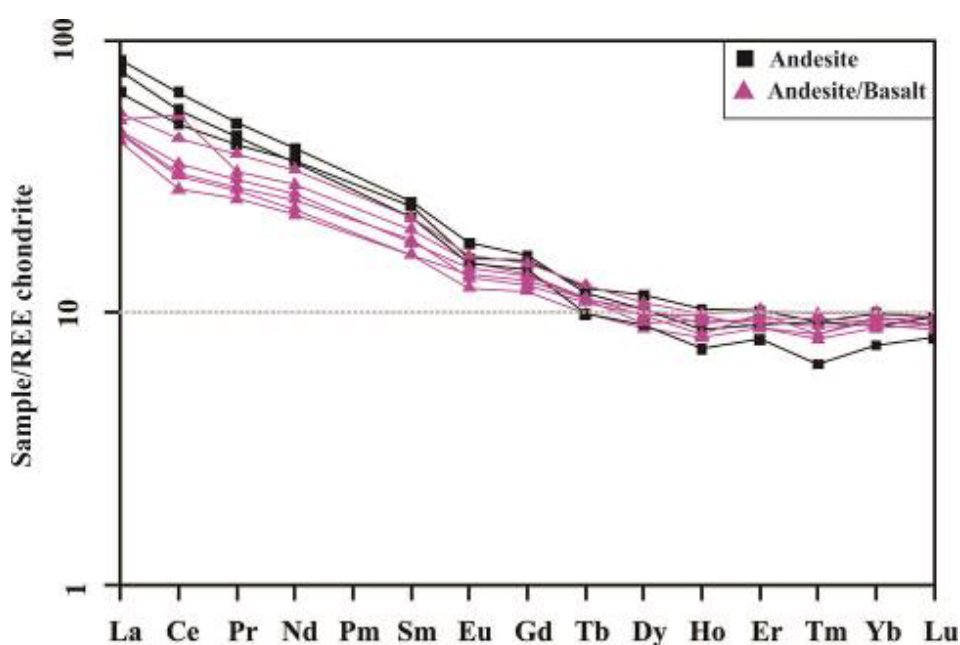
بحث و بررسی

در نمودار بهنجار شده نسبت به کندریت [۱۸]، مقدار کم (La/Yb)_N در همه نمونه‌ها به همراه الگوی عناصر خاکی نادر نشان دهنده تشکیل ماقما در عمق کمتر از گستره پایداری گارنت و یا کم بودن این مقدار در خاستگاه است (جدول ۱). با استفاده از نسبت (Ce/Yb) می‌توان تا حدی عمق و نرخ ذوب سنگ مولد را تشخیص داد. کم بودن این مقدار بیانگر خاستگاه ماقما در عمق کم یا نرخ ذوب زیاد است با توجه به اینکه این نسبت در همه واحدهای آتشفسانی پایین‌تر از ۷/۲۳ است، خاستگاه ماقما در قسمت‌های بالای گوشه است.

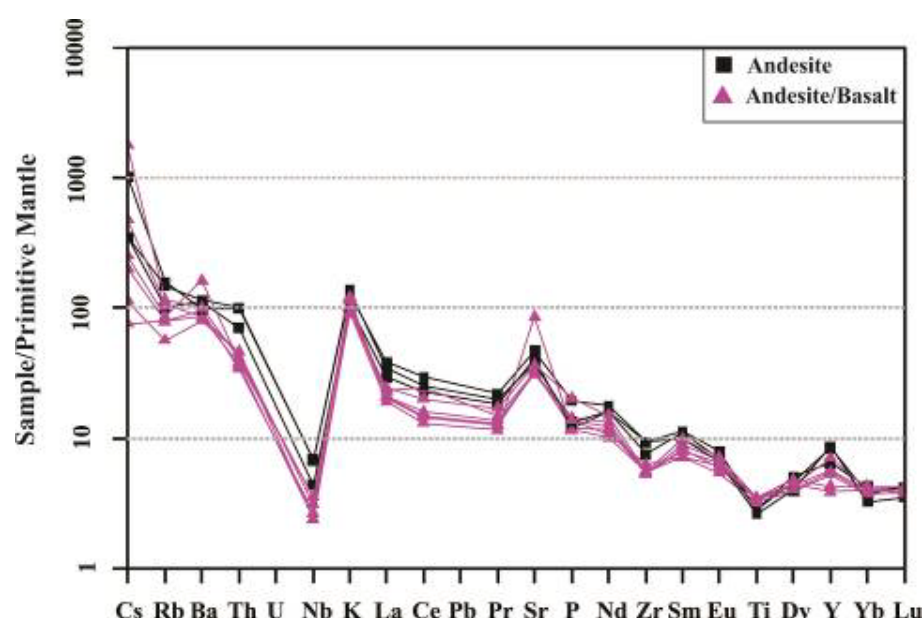
مقدار * Eu/Eu در واحدهای آتشفسانی بین ۰/۸۰ تا ۰/۹۵ متغیر است. این مقدار نشان دهنده ناهنجاری منفی جزئی در

[۲۸]. ناهنجاری منفی Nb شاخص مناطق فرورانش بوده و کاهیدگی آن از ویژگی‌های نوعی مagmaهای مشتق شده از پوسته اقیانوسی در پهنه فرورانش است [۳۱، ۳۲]. مقادیر منفی Nb و Ta همچنین می‌تواند ناشی از رخداد تهی شدگی پیشین در سنگ مخزن گوشه باشد [۳۳، ۳۴].

در بیشتر عناصر نسبت به سنگ‌های آندزیت بازالتی غنی‌شدگی نشان می‌دهند، در حالی که عنصر Ti در نمونه‌های آندزیتی ناهنجاری منفی‌تری نشان می‌دهد که این ویژگی می‌تواند مربوط به جدایش بیشتر در نمونه‌های آندزیتی باشد. افزایش شیب الگوی عناصر کمیاب در نمونه‌های آندزیتی نسبت به آندزیت- بازالتی، نیز جدایش مagmaهای آندزیتی را تأیید می‌کند.



شکل ۵ نمودار عناصر خاکی نادر بهنجار شده نسبت به کندریت برای واحدهای آتشفسانی منطقه شاه سلطان علی [۱۸].

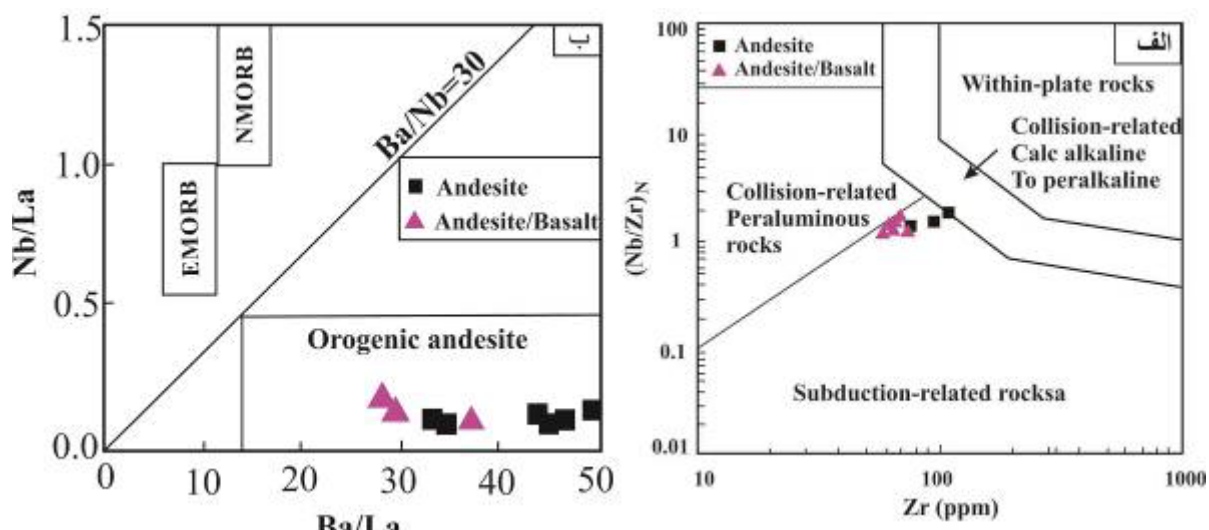


شکل ۶ نمودار فراوانی عناصر جزئی و کمیاب بهنجار شده نسبت به گوشه اولیه [۲۳].

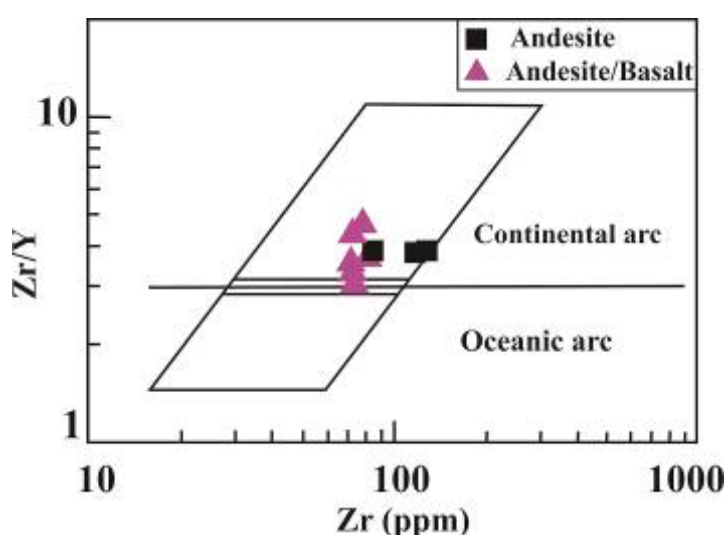
ای فعال در ارتباط است (شکل ۷ ب). جهت تعیین نوع کمان آتشفسانی از نمودار Y/Zr نسبت به Zr [۳۸] استفاده شد. براساس این نمودار، همه واحدهای سنگی در قسمت کمان‌های قاره‌ای جانمایی می‌شوند (شکل ۸). کمان‌های قاره‌ای نسبت به کمان‌های اقیانوسی از SiO_2 غنی‌تر هستند و ناهنجاری مثبت‌تری از عناصر K, Rb و U نشان می‌دهند [۳۹]. که این شرایط بر واحدهای آتشفسانی منطقه شاه سلطان علی حاکم است و با کمان‌های قاره‌ای همخوانی دارند.

محیط زمین ساختی

بر اساس شواهد بسیار از جمله ناهنجاری منفی Nb غنی‌شدگی از عناصر LILE نسبت به HFSE و قرارگیری منطقه در منطقه ساختاری پهنه لوت، مشخص شده است که آندزیت- بازلت و آندزیت‌های منطقه شاه سلطان علی در محیط‌های وابسته به پهنه فرورانش شکل گرفته‌اند. این ارتباط با پهنه فرورانش در نمودار $(Nb/Zr)_N$ نسبت به Zr نشان داده شده است [۳۵] (شکل ۷ الف). در نمودار Nb/La نسبت به Ba/La [۳۷,۳۶]، واحدهای آتشفسانی منطقه در گستره آندزیت‌های کوه‌زایی واقع می‌شوند که این قلمرو با کرانه قاره-



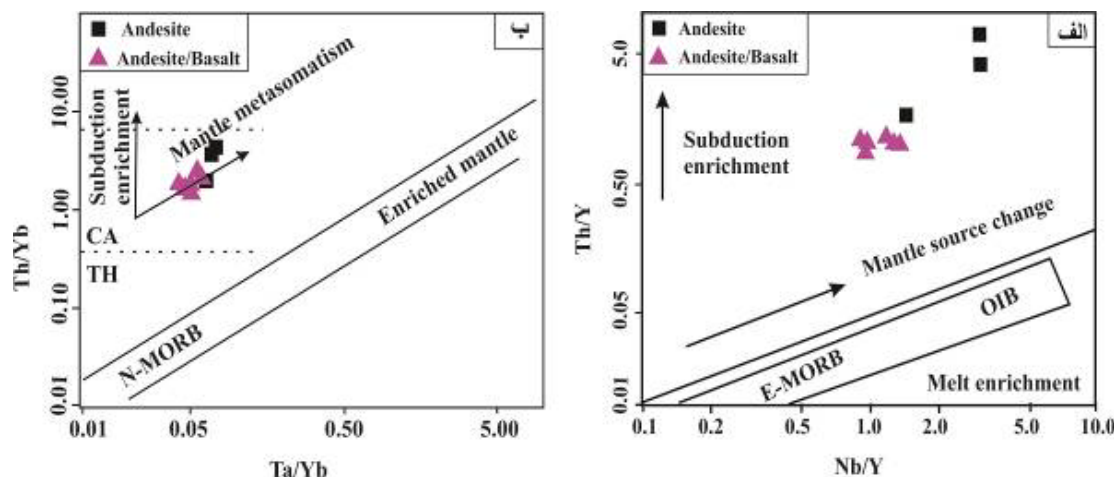
شکل ۷ الف) نمودار تعیین جایگاه زمین ساختی براساس $Nb/Zr)_N$ نسبت به Zr (برحسب PPm) [۳۵]. ب) نمودار Nb/La نسبت به Ba/La (برحسب PPm) [۳۷,۳۶].



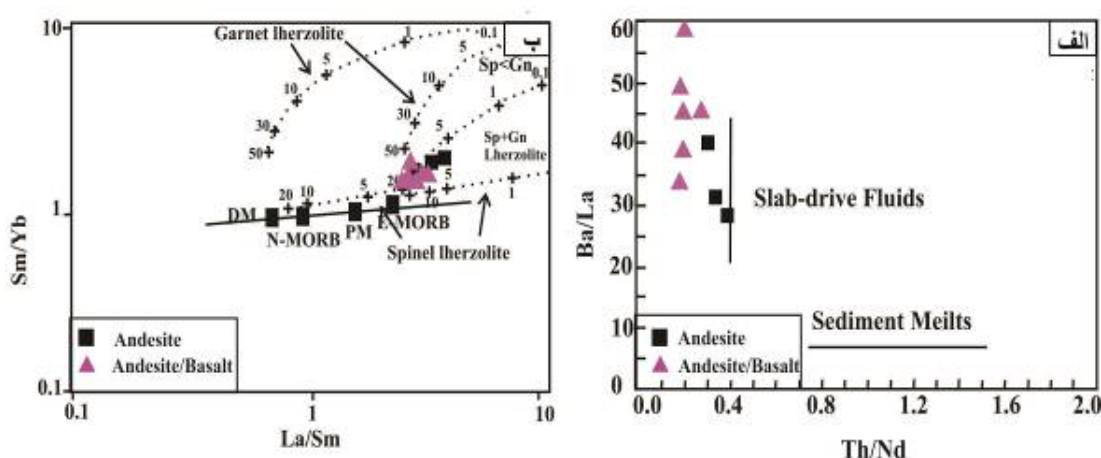
شکل ۸ تعیین نوع کمان آتشفسانی براساس Zr/Y نسبت به Zr [۳۸].

دوتایی Ba/La نسبت به Th/Nd استفاده شد (شکل ۱۰ الف) [۴۰]. برایه پژوهش وود [۴۱]، نسبت Ba/La برای بازالت (E-MORB) های پشتہ میان اقیانوسی نوع مورب غنی شده (N-MORB) حدود ۴ تا برابر با ۱۰ تا ۱۵، برای نوع تهی شده (N-MORB) حدود ۴ تا ۱۰ و برای مرزهای واگرا بیش از ۱۵ است. این نسبت در سنگ‌های منطقه شاه سلطان علی بین ۸۰/۷۸ تا ۲۸/۳۸ متغیر بوده که این مقدار بالا نشانه غنی شدگی گوشه به وسیله سیال‌های برآمده از فرورانش است (شکل ۱۰ الف).

خاستگاه
خاستگاه ماقمای تشکیل دهنده آندزیت و بازالت‌های منطقه شاه سلطان علی بر اساس نمودار Y Th/Nb به Nb/Y [۳۸]، در فاصله بین گوشه تغییر یافته و گوشه غنی شده فرورانش است (شکل ۹ الف). این ماقما براساس نمودار Th/Yb Ta/Yb شده را نشان می‌دهد (شکل ۹ ب). جهت تعیین نقش سیال‌های برآمده از فرورانش و دگرنهادی وابسته به رسوبات فرورونده در ماقمای به وجود آورنده سنگ‌های منطقه از نمودار



شکل ۹ الف) جایگاه سنگ‌های منطقه شاه سلطان علی در سلطان علی در نمودار Th/Yb (بر حسب ppm) [۳۸]. ب) تعیین خاستگاه ماقما و ماهیت سنگ‌های آتشفسانی منطقه شاه سلطان علی بر اساس نمودار Th/Yb (بر حسب ppm) (ppm) [۳۸] (گستره آهکی-قلیایی) بر گرفته از مرجع [۴۰].



شکل ۱۰ الف) موقعیت واحدهای آتشفسانی منطقه در نمودار Sm/Yb (بر حسب ppm) ب) نمودار Th/Nd Ba/La (بر حسب ppm) نسبت به La/Sm برای تودهای نفوذی منطقه شاه سلطان علی [۴۳]. روند گوشه‌ای در این شکل (خط ضخیم) توسط ترکیب گوشه تهی شده نوع مورب (DM) [۷] و گوشه اولیه (PM) [۲۳] مشخص می‌شود. منحنی‌های ذوب‌بخشی برای خاستگاه گوشه‌ای اسپینل لرزولیت ($Ol_{53}+Opx$) ($Ol_{53}+Opx$) با ترکیبات گوشه تهی شده نوع مورب و گوشه اولیه ($Ol_{60}+Opx_{20}+Cpx_{10}+gt_{10}$) ($Ol_{60}+Opx_{20}+Cpx_{10}+gt_{10}$) با گارنت لرزولیت ($Sp_{11}+Cpx_{17}+gt_{27}$) ($Sp_{11}+Cpx_{17}+gt_{27}$) [۴۲]. خطوط و اعداد روی منحنی‌های ذوب نشان‌دهنده درجه ذوب‌بخشی برای یک خاستگاه گوشه‌ای است.

برآمده از صفحه فرورونده و تا حدودی رسوبات رویی آنهاست. از آنجاکه عناصر La, Ce, Th و Pr در سیال‌ها تحرک پذیری بالایی ندارند و بیشتر در رسوبات غنی‌شدگی نشان می‌دهند، و با توجه به نمودارهای ترسیم شده می‌توان گفت که از میان اجزای فرورانشی، سیال‌های فرورونده نقش مهم‌تری داشته‌اند. خاستگاه این ماقماً از اسپینل گارنت لرزولیت با مقدار بیشتر اسپینل بوده است که این فعالیت ماقمایی در اثر کشش‌های محلی طی همگرایی پهنه افغان به سمت پهنه لوت در دوره ترشیاری رخ داده است. در مجموع می‌توان چنین گفت که ماقمای مولد واحد آتشفسانی منطقه پیامد ذوب بخشی گارنت اسپینل لرزولیت بوده و سیالات برآمده از فرورانش و احتمالاً مقدار کمی گدازه‌های برآمده از رسوبات به خاستگاه گوشتهدی افزوده شده و باعث پایین آوردن خط انجامد گوشتهد و غنی شدگی آن شده است بررسی‌ها همچنین نشان می‌دهد که ماقمای اولیه خود از برخی عناصر غنی شده بوده است. این ماقمای به احتمال زیاد طی صعود کمی دچار جدایش شده است و سنگ‌های آندزیتی و آندزیت-بازالت پیامد آن هستند.

قدرتانی

این پژوهش با حمایت مالی دانشگاه فردوسی مشهد در ارتباط با طرح پژوهشی شماره ۳/۳۶۷۷۶ تصویب شده در ۱۴/۱۲/۹۳ انجام شده است.

مراجع

- [1] Vassigh H., Soheili M., "Geological map of Sar-E-chah-E-Shur (sheet 7754), Scale 1:100000", Geological Survey of Iran (1975).
- [2] Karimpour M.H., Stern C.R., Farmer L., Saadat S., Malekezadeh shafaroudi A., "Review of age, Rb-Sr geochemistry and petrogenesis of Jurassic to Quaternary igneous rocks in Lut Block, Eastern Iran", Geopersia 1(2011) 19-36.
- [3] Eftekharnejad G., "Notes on the formation of flysch sedimentary basins in Eastern Iran and its relation to plate tectonic theory, in Stocklin, Eftekharnejad, and Hoshmandzadeh, eds., Primarily investigation on the geology of Lut block, Eastern Iran", Geological Survey of Iran, Report 22 (1973) 67-71.
- [4] Aghanabati A., "Geology of Iran", Geological Survey of Iran, Tehran, (2005) 538 pp, (Persian book).

برای بررسی درجه ذوب بخشی و نوع کانی باقی مانده در خاستگاه از نمودار Sm/Yb/Nb نسبت به La/Sm استفاده شد [۴۲, ۴۳] (شکل ۱۰ ب). در واقع این نمودار به نوعی نمودار MREE/HREE نسبت به LREE/MREE و بیانگر ذوب گارنت لرزولیت یا اسپینل لرزولیت در خاستگاه گدازه است. در این نمودار با افزایش درجه ذوب بخشی از مقدار La/Sm کاسته می‌شود و شبیه نزولی را نشان می‌دهد. ماقمای مولد واحدهای آندزیتی و بازالتی در گستره شاه سلطان علی بین اسپینل لرزولیت و اسپینل گارنت لرزولیت جای گرفته است. نسبت پایین (La/Yb) (۴,۹۰ تا ۱۰,۵۹)، الگوی عناصر کمیاب بهنجار شده نسبت به کندریت، نسبت کم (Ce/Yb) (۳,۴۴ تا ۷,۲۳) بهمراه مقدار $Yb < 2$ بیانگر حضور جزئی گارنت در خاستگاه است. بنابراین نمودارهای زمین‌شیمیایی ماقمای مولد سنگ‌های آتشفسانی منطقه عمق پایداری اسپینل گارنت لرزولیت با مقدار اسپینل بیشتر از گارنت را نشان می‌دهند. درجه ذوب سنگ‌های آندزیتی بین ۵ تا ۱۰ درصد ذوب بخشی بوده و خاستگاه سنگ‌های بازالتی بیشتر از اسپینل گارنت لرزولیت با درجه ذوب بین ۱۰ تا ۲۰ درصد ذوب بخشی است.

برداشت

در این پژوهش مشخص شد که سنگ‌های آتشفسانی منطقه شاه سلطان علی شامل دو گروه آندزیت و آندزیت-بازالت هستند. این سنگ‌ها بیشتر دگرسانی پروپلیتی ضعیف تا متوسط دارند. بررسی‌های زمین‌شیمیایی نشان داد که ماهیت ماقمای آنها آهکی-قلیایی پتاسیم بالا تا شوشونیتی بوده و از نظر مقدار آلومینیوم در گروه سنگ‌های متالومین جای می‌گیرند. در همه واحدهای سنگی منطقه غنی‌شدگی از عناصر LREE نسبت به عناصر HFSE دیده می‌شود، به ویژه تهی‌شدگی از LILE بارز است. جایگاه ساختاری منطقه مورد بررسی، ناهنجاری منفی از Nb، افزایش نسبت HFSE و غنی‌شدگی از عناصر LREE نسبت به Th/Yb همگی نشان دهنده ارتباط منطقه با پهنه فرورانش است. افزایش شبیه الگوی عناصر کمیاب در آندزیت‌ها نسبت به بازالت‌های منطقه نیز ناشی از جدایش بیشتر ماقمای تشکیل دهنده آنهاست و این موضوع با اپاسیتی شدن کانی‌های بیوتیت و هورنبلند و کندرت بودن نسبی حرکت ماقماً نیز تأیید می‌شود. خاستگاه ماقمای مشتق شده در این پهنه گوشه دگرنهاد شده است و عامل دگرنهادی بودن گوشه بیشتر مربوط به سیال‌های

- rocks based on the total alkali-silica diagram", Journal of petrology, 27 (1986) 745-750.*
- [15] Winchester J.A., Floyd P.A., "Geochemical discrimination of different magma series and their differentiation prototextures and setting of VMS mineralization in the Pilbara ducts using immobile elements", Journal of Chemical Geology 20 (1977) 325-344.
- [16] Pearce, J.A., "Trace element characteristics of lavas from destructive plate boundaries. In: Thorpe, R.S. (Ed.), Andesites", Wiley, (1982) 525-548.
- [17] Shand S.J., "Eruptive rocks; their genesis, composition, classification and their relation to ore-deposits", Hafner Publishing Company, New York, (1947) 448.
- [18] Boynton W.V., "Cosmochemistry of the rare earth elements; meteorite studies. In: P. Henderson (Editor), The rare earth element geochemistry", Elsevier, Amsterdam, (1984) 115-1522.
- [19] Wilson M., "Igneous petrogenesis. Uniwin Hyman, London", 466 pp.
- [20] Rollinson, H., "Using geochemical data: evolution, presentation, interpretation", Longman Scientific and Technical, (1989) 248.
- [21] Helvacı C., Ersoy E.Y., Sözbilir H., Erkül F., Sümer Ö., Uzel B., "Geochemistry and 40Ar/39Ar geochronology of Miocene volcanic rocks from the Karaburun Peninsula: Implications for amphibole-bearing lithospheric mantle source, western Anatolia", Volcanology and Geothermal Research 185 (2009) 181–202.
- [22] Gill R., "Igneous rocks and processes", Wiley-Blackwell, New Jersey, (2010) 428.
- [23] Sun S.S., McDonough W.F., "Chemical and isotopic systematics of oceanic basalts: implications for mantle composition and processes. In: A.D. Saunders and M.J. Norry (Editors), Magmatism in the Ocean Basins", Geological Society of London (1989) 313–345.
- [24] Sajjona F.G., Maury R.C., Bellon H., Cotten J., Defant M., "High Field Strength Element Enrichment of Pliocene—Pleistocene Island Arc Basalts, Zamboanga Peninsula, Western Mindanao (Philippines)", Journal of Petrology, 37 (1996) 693-726.
- [25] Nicholson K. N., Black P. M., Hoskin P. W. O., Smith I. E. M., "Silicic volcanism and back-arc extension related to migration of the Late Cainozoic Australian-Pacific plate boundary. In: Asiabanza. A., Ghasemi. H. and Meshkin. M.,
- [5] Karimpour M. H., Malekezadeh shafaroudi A., Mazaheri S. A., Hidarian, M. R., "Magmatism and different mineralization of Cu-Au-Sn-W in Lut block", The 15th Conference of Iranian Society of Crystallography and Mineralogy, Ferdowsi University of Mashhad, Iran (2007) 598-604.
- [6] Pang K.N., Chung S.L., Zarrinkoub M.H., Khatib M.M., Mohammadi S.S., Chiu H.Y., Chu C.H., Lee H.Y., Lo C.H., "Eocene-Oligocene post-collisional magmatism in the Lut-Sistan region, eastern Iran: magma genesis and tectonic implications", Lithos, 180 (2013) 234-251.
- [7] Malekzadeh shafaroudi A., Karimpour M.H., Mazaheri S.A., "Geology, alteration, mineralization and geochemistry of MA-II region, Maherabad porphyry copper-gold prospect area, South Khorasan province", Iranian Journal of crystallography and mineralogy 17 (2010) 639-654, (in Persian with English abstract).
- [8] Abdi M., Karimpour M.H., "Petrochemical Characteristics and Timing of Middle Eocene Granitic Magmatism in Kooh-Shah, Lut Block, Eastern Iran", Acta Geological SINICA, 87 (2013) 1032-1044.
- [9] Malekzadeh shafaroudi A., Karimpour M.H., Stern C.R., "The Khopik porphyry copper prospect, Lut Block, Eastern Iran. Geology, alteration and mineralization, fluid inclusion, and oxygen isotope studies", Ore Geology, 65 (2015) 522 – 544.
- [10] McKenzi D., O'Nions R.K., "Partial melt distribution from inversion of rare earth element concentrators", Journal of Petrology, 32 (1991) 1021-1091.
- [11] Shelly D., "Igneous and Metamorphic Rocks under the Microscope: Classification, Textures, Microstructures and Mineral Preferred Orientation", Springer, London (1993) 445.
- [12] Kawabata H., Shuto K., "Magma mixing recorded in intermediate rocks associated with high-Mg andesites from the Setouchi volcanic belt, Japan: implications for Archean TTG formation", Journal of Volcanology and Geothermal Research, 140 (2005) 241-271.
- [13] Whitney D.L., Evans B.W., "Abbreviations for names of rock-forming minerals", American Mineralogist, Volume 95 (2010) 185–187.
- [14] Le Bas M.J., Le Maitre R.W., Streckeisen A., Zanettin B., "A chemical classification of volcanic

- depletions in central Nicaragua”* Earth and Planetary Science Letters, 192 (2001) 533-543.
- [34] Gust D.A., Arculus R.A., Kersting A.B., "Aspects of magma sources and processes in the Honshu arc", The Canadian Mineralogist, 35 (1977) 347-365.
- [35] Thieblemont D., Tegyey M., "Geochemical discrimination of differentiated magmatic rocks attesting for the variable origin and tectonic setting of calc-alkaline magmas", Comptes Rendus De L Academie Des Sciences Serie II, 319 (1994) 87-94.
- [36] Asiabanza, A., Bardintzeff, J.M., Kananian, A., Rahimi, G., "Post-Eocene volcanics of the Abazar district, Qazvin, Iran: Mineralogical and geochemical evidence for a complex magmatic evolution", Journal of Asian Earth Sciences, 45 (2012) 79–94.
- [37] Kuscu, G.G., Geneli, F., "Review of post-collisional volcanism in the central Anatolian volcanic province(Turkey), with special reference to the Tepekoval volcanic complex", International Journal of Earth Sciences, 99 (2010) 593-621.
- [38] Pearce J.A., "Role of the sub-continental lithosphere in magma genesis at active continental margins. In: Continental basalts and mantle xenoliths (Eds. Hawkesworth, C. J. and Norry, M. J.)" (1983) 230-249.
- [39] Stern R.J., "Subduction zones" Reviews of Geophysics 40 (2002) 1012-1054.
- [40] McCulloch M.T., Gamble J.A., "Geochemical and geodynamical constraints on subduction zone magmatism", Earth and Planetary Science Letters 102 (1991) 358-374.
- [41] Wood D.A., "The application of a Th-Hf-Ta diagram to problems of tectonomagmatic classification and to establishing the nature of crustal contamination of basaltic lavas of the British Tertiary volcanic province", Earth Planet. Sci. Lett., 50 (1980) 11-30.
- [42] Aldanmaz E., Pearce J.A., Thirlwall M.F., Mitchell J.G., "Petrogenetic evolution of late Cenozoic, post-collision volcanism in western Anatolia, Turkey" Journal of Volcanology and Geothermal Research, 102 (2000) 67–95.
- [43] Shaw D.M., "Trace element fractionation during anatexis", Geochimica et Cosmochimica Acta, 34 (1970) 237-243.
2009. *Paleogene continental-arc type volcanism in NorthQazvin, North Iran*", facies analysis and geochemistry. Schweizerbartsche Verlagsbuchhandlung. v. 186/2; (2004) p. 201-214.
- [26] Tamura Y., Yuhara M., Ishii T., Irino N., Shukuno H., "Andesites and Dacites from Daisen Volcano, Japan: Partial-to-Total remelting of an andesite Magma Body ", Journal of Petrology. V. 44; n. 12(2003) 2243-2260.
- [27] Tepper J.H., Nelson B.K., Bergantz G.W., Irving, A.J., "Petrology of the Chilliwack atholith, North Cascades, Washington: generation of calc-alkaline granitoids by melting of mafic lower crust with variable water fugacity", Contributions to Mineralogy and Petrology, 113 (1993) 333-351.
- [28] Peters T.J., Menzies M., Thirlwall M., Kyle, P., "Zuni-Bandera volcanism, Rio Grande, USA – melt formation in garnet- and spinel facies mantle straddling the asthenosphere-lithosphere boundary", Lithos, 102 (2008) 295–315.
- [29] Dampare S.B., Shibata T., Asiedu D.K., Osae S., Banoeng-Yakubo B., "Geochemistry of Paleoproterozoic metavolcanic rocks from the southern Ashanti volcanic belt, Ghana: Petrogenetic and tectonic setting implication", Precambrian Res, 162 (2008) 403-423.
- [30] Edward C.M.H., Menzies M.A., Thirlwall M.F., Morrid J.D., Leeman W.P., Harmon R.S., "The transition to potassic alkaline volcanism in island arcs: the Ringgite-Beser Complex, East Java", Journal of Petrology, 35(1994): 1557-1595.
- [31] Saunders A.D., Storey M., Kent R.W., Norry M.J., "Consequences of plume-lithosphere interactions. In: B.C. Storey, T. Alabaster and R.J. Pankhurst (Editors), Magmatism and the Causes of Continental Break-up", Geological Society London Special Publication, (1992) 41–60.
- [32] Nagudi N., Koberl Ch., Kurat G., "Petrography and Geochemistry of the sigo granite, Uganda and implications for origin", Journal of African earth Sciences, 36 (2003) 1-14.
- [33] Walker J.A., Patino L.C., Carr M.J., Feigenson M.D., "Slab control over HFSE